



ZMIANY KWASÓW TŁUSZCZOWYCH W RAKU BŁONY ŚLIZOWEJ TRZONU MACICY

Monika Czapiewska¹, Rozalia Tyszkiewicz¹, Agata Zwara³, Agata Stańczak², Paulina Żygowska², Katarzyna Bukato², Anna Abacjew-Chmyłko², Dariusz G. Wydra², Adriana Mika^{1,3}

¹ Gdański Uniwersytet Medyczny, Wydział Farmaceutyczny, Katedra i Zakład Biochemii Farmaceutycznej, ul. Dębinki 1, 80-211 Gdańsk

² Gdański Uniwersytet Medyczny, Wydział Lekarski, Katedra Ginekologii, Położnictwa i Neonatologii, Klinika Ginekologii i Położnictwa, ul. Mariana Smoluchowskiego 17, 80-214 Gdańsk, Polska

³ Uniwersytet Gdański, Wydział Chemii, Katedra Analizy Środowiska, ul. Wita Stwosza 63, 80-308 Gdańsk, Polska

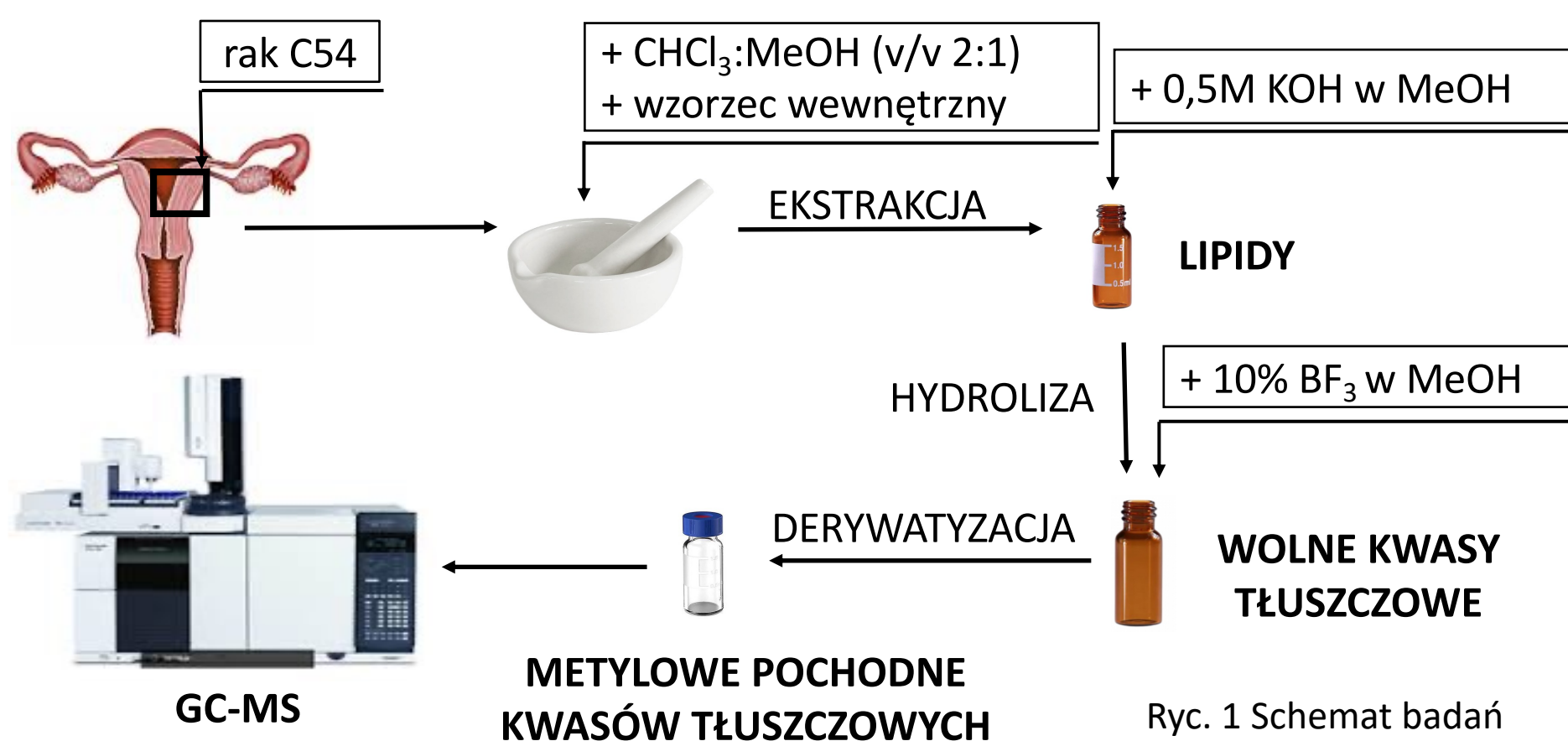
WSTĘP

W 2020 roku rak błony śluzowej trzonu macicy (rak C54) stanowił 4,5% wszystkich nowo zarejestrowanych przypadków nowotworów u kobiet na świecie. Zachorowalność na ten nowotwór bardzo intensywnie rośnie i pomimo coraz bardziej doskonałych technik diagnostyczno-terapeutycznych również umieralność [1]. Te czynniki - wysoka zachorowalność, rosnąca umieralność oraz brak badań przesiewowych, skłaniają do badań mających na celu poznanie mechanizmów molekularnych leżących u podstaw rozwoju raka C54 oraz poszukiwania nowych markerów w diagnostyce i leczeniu tego nowotworu. Jak donoszą źródła, choroby nowotworowe są ściśle związane z zaburzeniami metabolizmu lipidów [2]. W wielu rodzajach nowotworów stwierdzono zwiększenie aktywności enzymów związanych z syntezą lipidów, zarówno kwasów tłuszczowych (FA) i cholesterolu [3]. Dlatego celem badań było określenie różnic między zawartością FA w tkance nowotworu C54 i zdrowej tkance endometrium u pacjentek z rakiem błony śluzowej trzonu macicy.

METODOLOGIA BADAŃ

Tab. 1 Charakterystyka pacjentek biorących udział w badaniu.

	MEAN ± SEM
Age (years)	66,0 ± 1,65
BMI (kg/m ²)	29,19 ± 1,07
TG (mg/dl)	146 ± 10,4
HDL (mg/dl)	52,5 ± 2,06
LDL (mg/dl)	133 ± 6,71
TC (mg/dl)	201 ± 6,87
CRP (mg/l)	2,33 ± 0,27
Glucose (mg/dl)	101 ± 3,08
Insulin (μU/ml)	7,00 ± 0,57

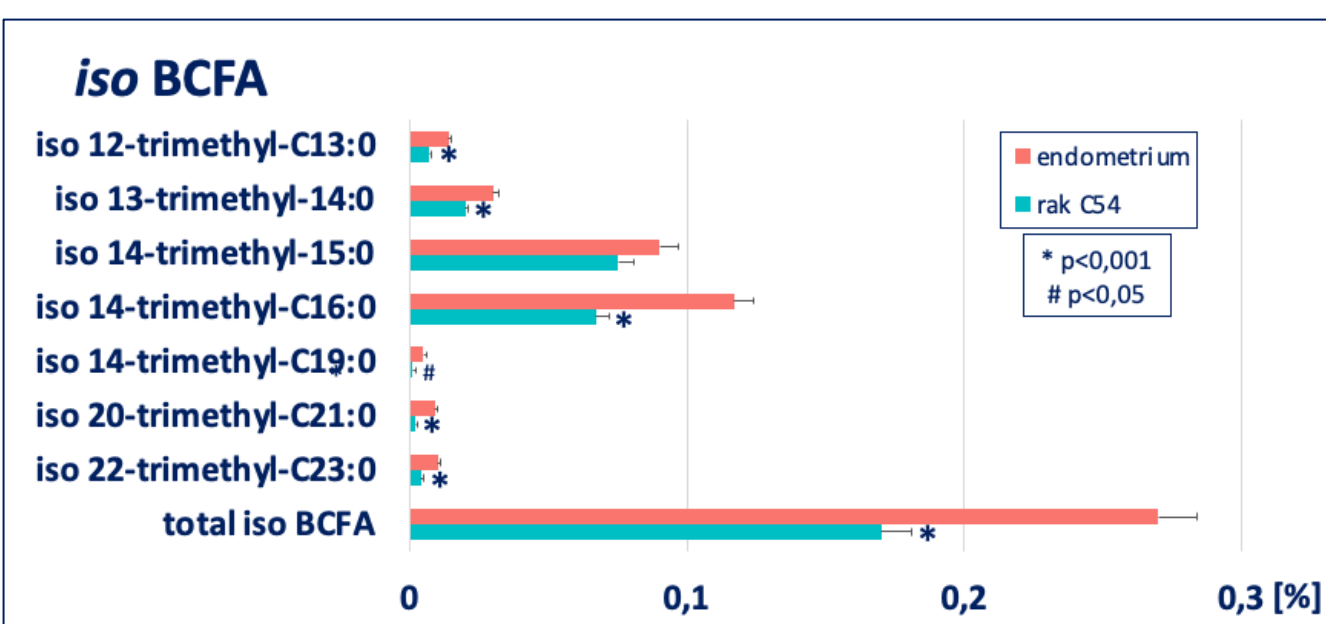


Ryc. 1 Schemat badań

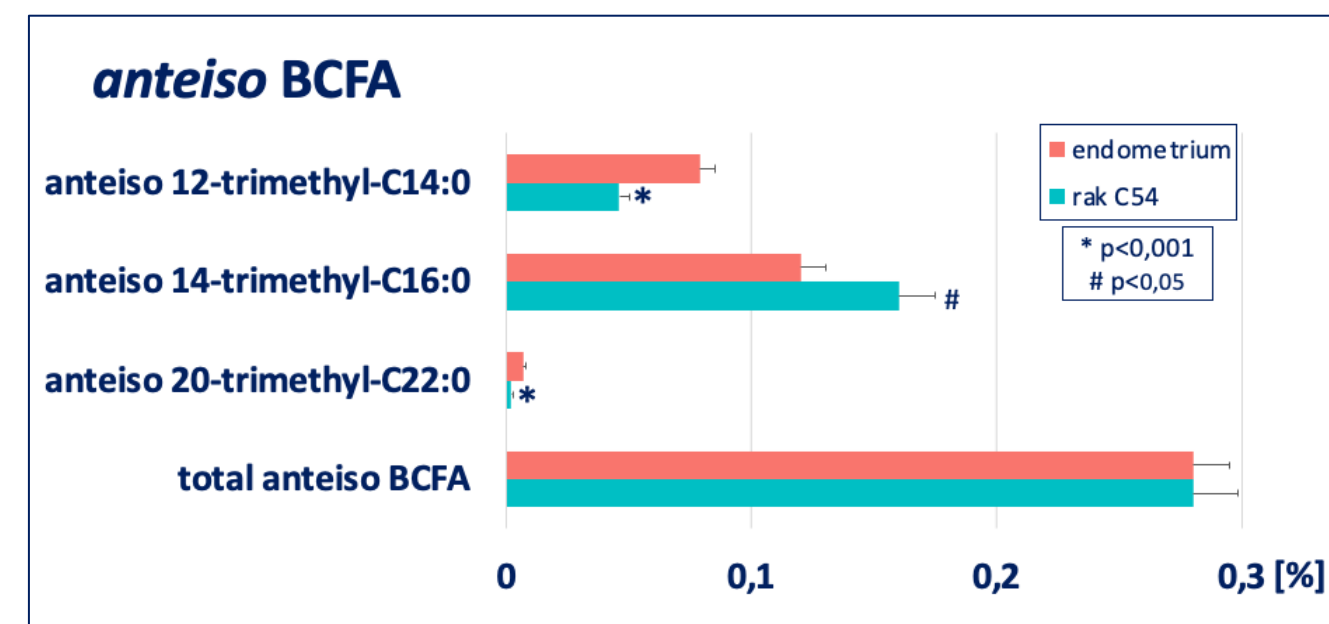
Do badań został wykorzystany materiał biologiczny (tkana nowotworowa i zdrowa tkanka endometrium) od 37 pacjentek z rakiem błony śluzowej trzonu macicy. Antropometryczna i biochemiczna charakterystyka pacjentek została przedstawiona w tabeli 1.

WYNIKI

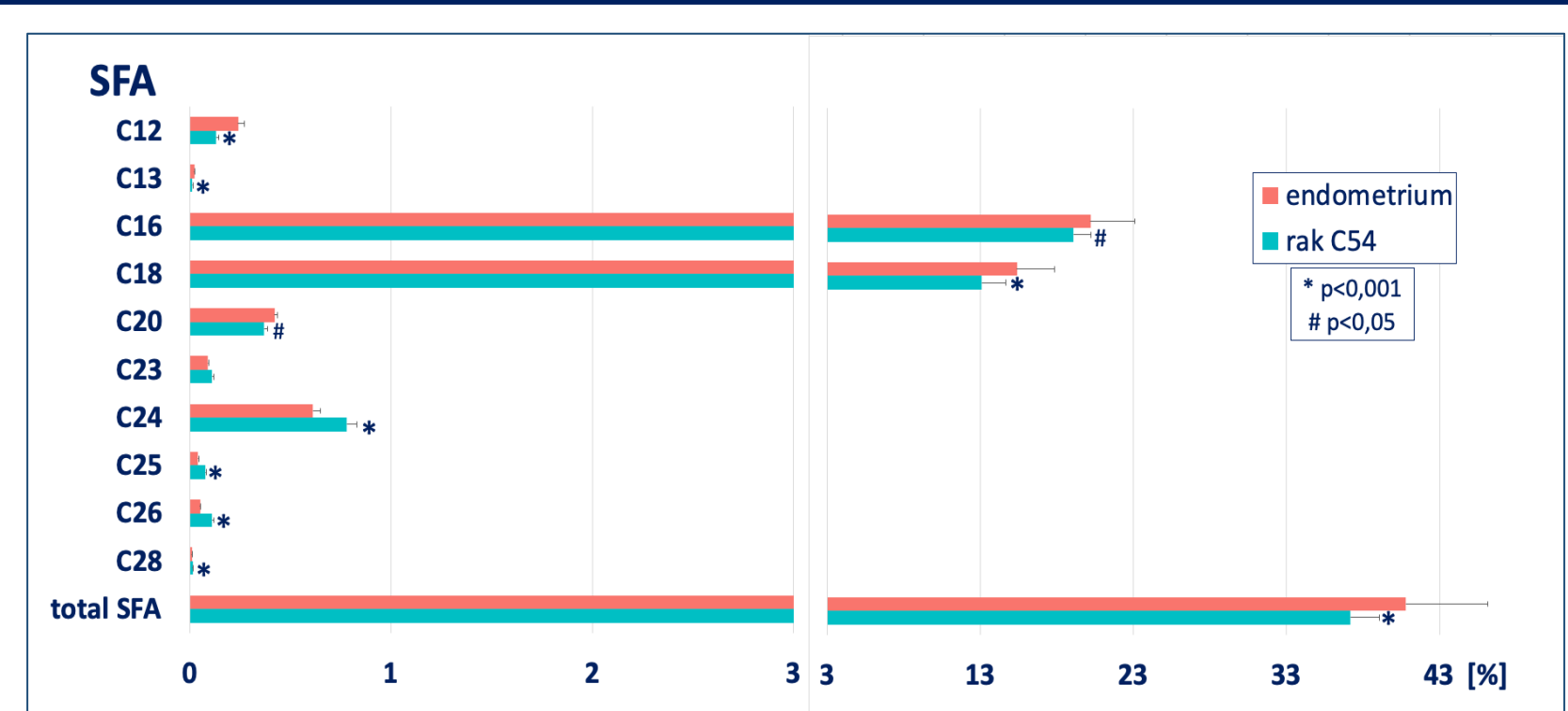
Wykresy 1-6 przedstawiają kwasy tłuszczowe (ang. fatty acids, FAs), które różniły się istotnie statystycznie w tkance guza C54 i zdrowym endometrium macicy. Ponadto, ze względu na funkcje podzielono je na 4 grupy: rozgałęzione kwasy tłuszczowe (ang. branched-chain FAs, BCFA), nasycone kwasy tłuszczowe (ang. saturated FAs, SFA), jednonienasycone kwasy tłuszczowe (ang. monounsaturated FAs, MUFA) oraz wielonienasycone FA (ang. polyunsaturated FAs, PUFA).



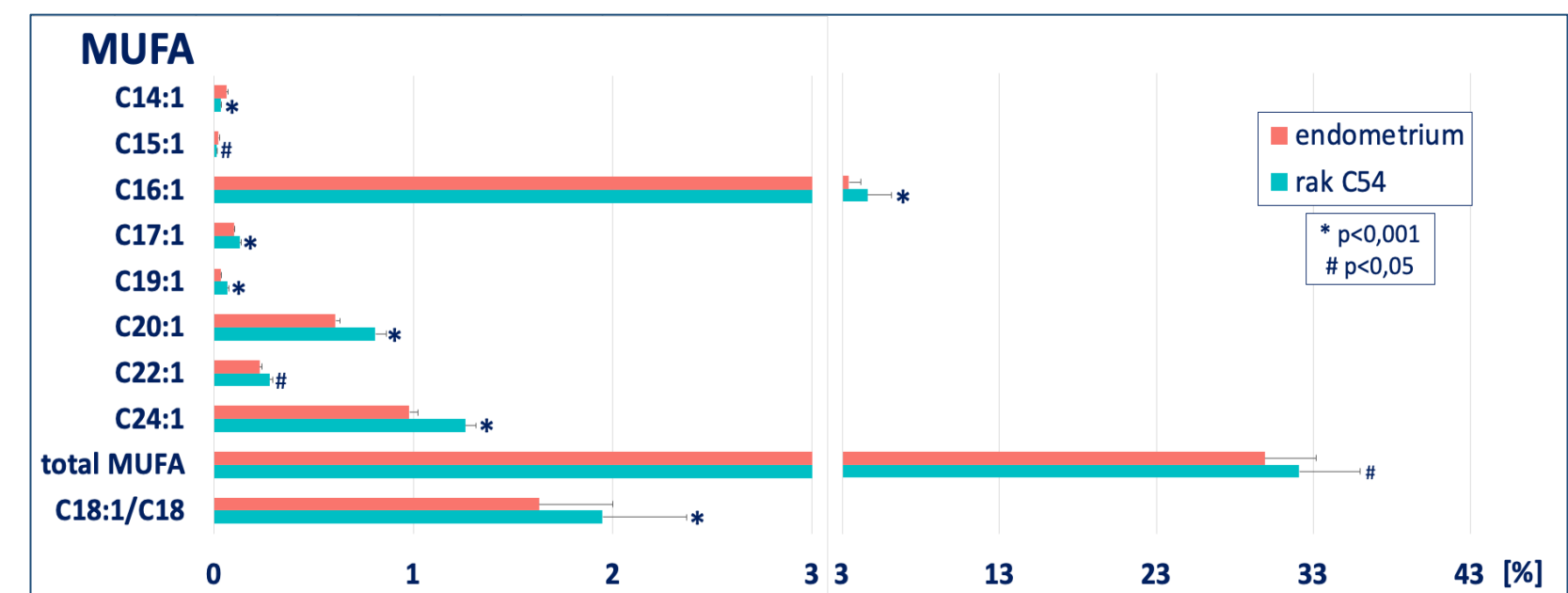
Wykres 1 Zawartość iso BCFA w tkance nowotworowej raka błony śluzowej trzonu macicy i tkance zdrowej endometrium.



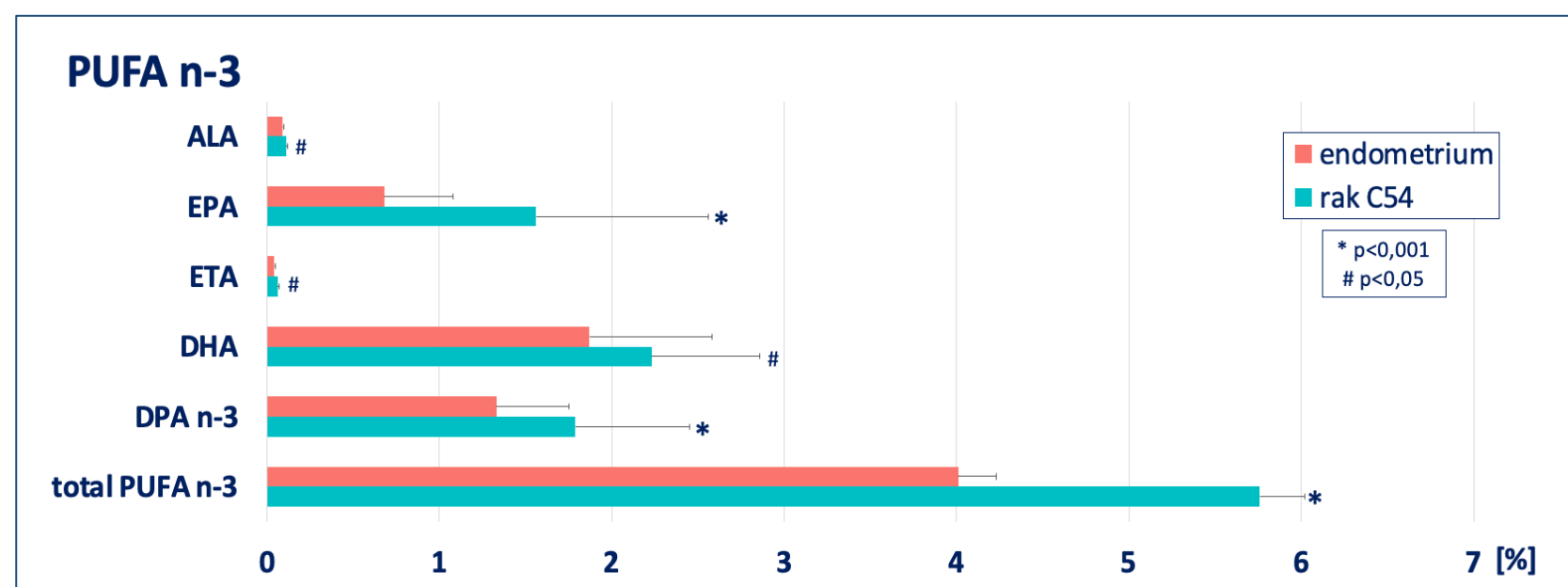
Wykres 2 Zawartość anteiso BCFA w tkance nowotworowej raka błony śluzowej trzonu macicy i tkance zdrowej endometrium.



Wykres 3 Zawartość poszczególnych SFA w tkance nowotworowej raka błony śluzowej trzonu macicy i tkance zdrowej endometrium.

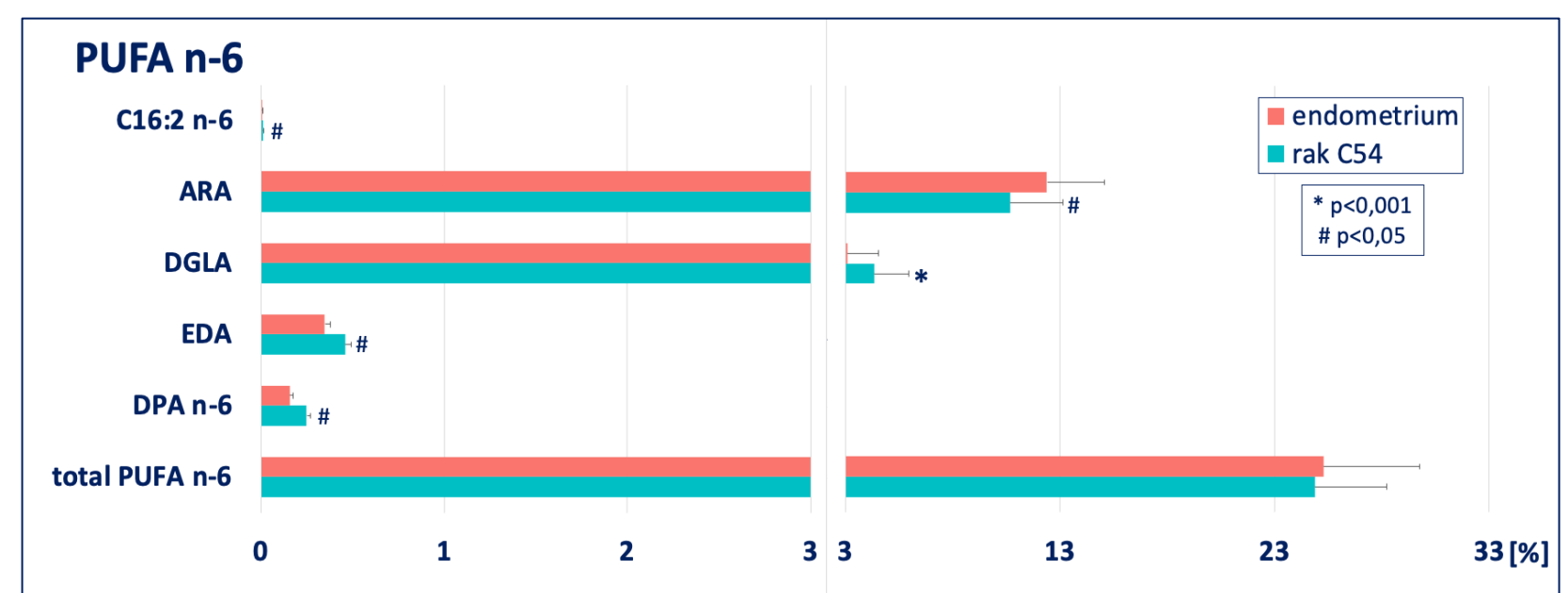


Wykres 4 Zawartość poszczególnych MUFA w tkance nowotworowej raka błony śluzowej trzonu macicy i tkance zdrowej endometrium.



Wykres 5 Zawartość PUFA n-3 w tkance nowotworowej raka błony śluzowej trzonu macicy i tkance zdrowej endometrium;

ALA - kwas alfa-linolenowy (ang. *alpha linoleic acid*); DHA - kwas dokosaheksaenowy (ang. *docosahexanoic acid*); DPA - kwas dokozapentaenowy (ang. *docosapentaenoic acid*); EPA - kwas eikozapentaenowy (ang. *eicosapentaenoic acid*); ETA - kwas eikozatetraenowy (ang. *eicosatetraenoic acid*);



Wykres 6 Zawartość PUFA n-6 w tkance nowotworowej raka błony śluzowej trzonu macicy i tkance zdrowej endometrium;

ARA - kwas arachidonowy (ang. *arachidonic acid*); DGLA - kwas dihomo-gamma-linolenowy (ang. *dihomo gamma linoleic acid*); EDA - kwas eikozadienowy (ang. *eicosadienoic acid*); DPA - kwas dokozapentaenowy (ang. *docosapentaenoic acid*);

WNIOSKI

Rak błony śluzowej trzonu macicy jest piątym u kobiet najczęściej diagnozowanym nowotworem złośliwym w krajach rozwiniętych, a szóstym na świecie [1]. Dlatego, tak ważnym jest poszukiwanie potencjalnych markerów tej choroby. W wyniku przeprowadzonych analiz notowano zmiany w profilu FA. Tkanka rakowa charakteryzowała się istotnie obniżoną zawartością iso BCFA ($p < 0,001$) (wyk.1), czego nie obserwowano w przypadku anteiso BCFA (wyk. 2). Jedynie iso BCFA wykazują właściwości przeciwnowotworowe, działają proapoptyczne w komórkach rakowych [4]. Obniżona całkowita zawartość SFA ($p < 0,001$) (wyk. 3) z jednoczesnym wzrostem indeksu desaturacji (18:1/18:0) ($p < 0,001$) (wyk. 4) może świadczyć o zwiększonej desaturacji SFA do MUFA, a to z kolei może być związane z zaburzeniami enzymów lipogennych – nadekspresji desaturazy steroilo-CoA [2]. Ponadto, w tkance nowotworowej obserwowano zwiększony poziom MUFA ($p = 0,003$) (wyk.4), PUFA n-3 ($p < 0,001$) (wyk.5) oraz bardzo długołańcuchowych kwasów VLCFA (ang. *very long chain FA*), od C22 do C28. Grupy te mają istotne znaczenie dla komórek rakowych. Duża zawartość PUFA w komórce rakowej stanowi rezerwar składników budujących błony biologiczne dla szybko proliferujących komórek. Zwiększony poziom VLCFA może świadczyć również o nadekspresji kolejnego enzymu lipogennego – elongazy kwasów tłuszczowych-1 oraz o ich magazynowaniu, w celu zwiększenia nieprzepuszczalności błony komórkowej dla czynników zewnętrznych, w tym leków [5]. Kwas arachidonowy (ARA, 20:4n-6) należący do PUFA n-6 (wyk. 6) był notowany w niższych ilościach w tkance C54, co może świadczyć o jego przemianie do eikozanoidów, biorących udział w reakcjach zapalnych [2].

LITERATURA

[1] Data source: GLOBOCAM 2020; <https://acsjournals.onlinelibrary.wiley.com/doi/full/10.3322/caac.21660> [2] Pakiet, A., Kobiela, J., Stepnowski, P. et al. Changes in lipids composition and metabolism in colorectal cancer: a review. *Lipids Health Dis* 18, 29 (2019). [3] Long, J., Zhang, C-J., Zhu, N., Du, K., Yin, Y-F., Tan, X., Liao, D-F., Qin, L. Lipid metabolism and carcinogenesis, cancer development *Am J Cancer Res.* 2018; 8(5): 778-791. [4] Mika, A et al. (2021) Rearrangements of Blood and Tissue Fatty Acid Profile in Colorectal Cancer - Molecular Mechanism and Diagnostic Potential. *Front. Oncol.* 11:689701. [5] Butler, Lisa M et al. "Lipids and cancer: Emerging roles in pathogenesis, diagnosis and therapeutic intervention." *Advanced drug delivery reviews* vol. 159 (2020): 245-293.

FINANSOWANIE

Gdański Uniwersytet Medyczny ST-40

